

(21) 数式モデルによる焼結操業のシミュレーション

川崎製鉄㈱ 水島製鉄所 ○一宮正俊 木村光蔵

児子精祐 安本俊治

1. 緒言 焼結プロセスの数式モデルは、いろいろな操業条件下における層内のヒートパターンなどを与えることができ、焼結現象の解析に大きく寄与しうる。最近、焼結鉱品質の向上、各種原単位の低減が一そう強く望まれており、この要求に対しても数式モデルは有効な知見を提供しうる。本報告は、数式モデルを用いて計算した各種の焼結操業のシミュレーションについて述べる。

2. モデルの概要 数式モデルの基礎式は焼結層内のガス・固体の熱収支、物質収支式から成り立つ。

$$\text{ガス 热収支式 } \epsilon \cdot \partial / \partial \theta (\rho g \cdot c_g \cdot t_g) = - \partial / \partial Z (G \cdot c_g \cdot t_g) - h v \cdot (t_g - t_s) + R H_g \quad (1)$$

$$\text{物質収支式 } \epsilon \cdot \partial \rho g / \partial \theta = - \partial G / \partial Z + R M_g \quad (2)$$

$$\text{固体 热収支式 } \partial / \partial \theta (\rho s \cdot c_s \cdot t_s) = h v \cdot (t_g - t_s) + R H_s \quad (3)$$

$$\text{物質収支式 } \partial \rho s / \partial \theta = R M_s \quad (4)$$

Z : 距離, θ : 時間, $\rho g, \rho s$: ガス、固体の密度, c_g, c_s : ガス、固体の比熱, t_g, t_s : ガス、固体の温度, G : ガスの質量速度, $h v$: ガス、固体間の熱伝達係数, ϵ : 層の空隙率, $R H_g, R H_s$: ガス、固体が吸収する反応熱, $R M_g, R M_s$: 反応によるガス、固体の質量増加

モデルの特徴として(I)コークスの燃焼、石灰石の分解は速度論的に扱った、(II)ガス・固体間の熱伝達係数 $h v$ の計算の際に固体の粒子径 d_p は、鉱石、石灰石、コークスの粒子径 (d_o, d_e, d_c)、粒子数 (n_o, n_e, n_c) を用い、次式で求めた。

$$d_p = 6 (1 - \epsilon) / \pi (n_o \cdot d_o^2 + n_e \cdot d_e^2 + n_c \cdot d_c^2) \quad (5)$$

(III)鉱石の溶融は計算上その比熱に含めて扱った。

3. 計算結果

(I)ヒートパターン：ヒートパターンの計算例を Fig. 1 に示す。

(II)点火条件の検討例：点火炉ガス原単位低減のために、各種の点火条件の検討を行った。点火炉ガスのピーク温度とその保持時間を組み合せて行った計算結果を Fig. 2 に示す。同図から、両者の組み合せにより着火の成否が決まり、シャープな操業可能領域があることがわかった。

(III)吸引風量の検討：焼結機上での吸引風量は、焼結鉱品質などへの影響が大きい。風量が一定の場合と実測された風量分布の場合の赤熱帯 (900°C 以上の部分) を Fig. 3 に示す。風量分布の差により、赤熱帯の幅、形状などが大きく変わり、風量分布の制御が焼結プロセスの制御に有効であることがわかる。

4. まとめ 数式モデルによる各種のシミュレーションにより、焼結操業改善のための有用な知見が得られることがわかった。

参考文献 1)塚本ら；鉄と鋼 56 (1972) 6, P661

2)新田ら；鉄と鋼 67 (1981) 12, S696

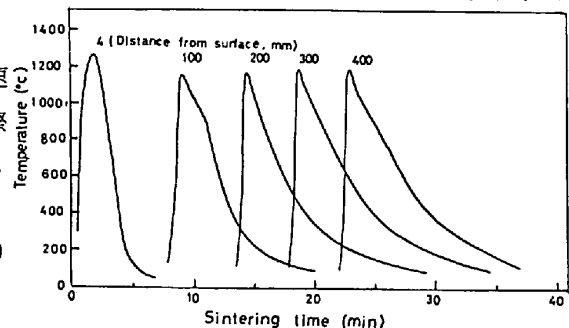


Fig. 1 Heat pattern in sintering bed

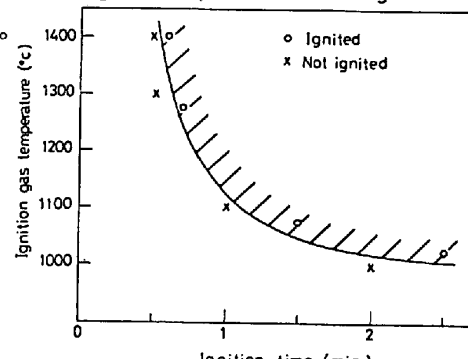


Fig. 2 Influence of ignition time and gas temperature on ignition of sintering bed

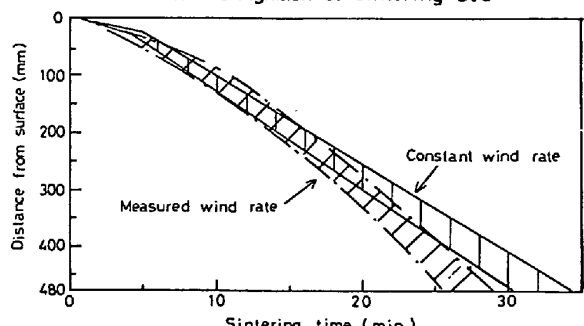


Fig. 3 Influence of wind rate on combustion zone